

$$\begin{aligned}
 DB_0 &= D(dc) * \left(\frac{\left(w_{22} + \frac{\gamma^2}{\sigma_0^2} \right) * \gamma - \left(w_{12} + \frac{\gamma * \eta}{\sigma_0^2} \right) * \eta}{\left(w_{11} + \frac{\gamma^2}{\sigma_0^2} \right) * \left(w_{22} + \frac{\gamma^2}{\sigma_0^2} \right) - \left(w_{12} + \frac{\gamma * \eta}{\sigma_0^2} \right)^2} \right)^2, \\
 DL_0 &= D(dc) * \left(\frac{\left(w_{11} + \frac{\gamma^2}{\sigma_0^2} \right) * \eta - \left(w_{12} + \frac{\gamma * \eta}{\sigma_0^2} \right) * \gamma}{\left(w_{11} + \frac{\gamma^2}{\sigma_0^2} \right) * \left(w_{22} + \frac{\gamma^2}{\sigma_0^2} \right) - \left(w_{12} + \frac{\gamma * \eta}{\sigma_0^2} \right)^2} \right)^2, \\
 K_{B_0 L_0} &= D(dc) * \left(\frac{\left(w_{11} + \frac{\gamma^2}{\sigma_0^2} \right) * \eta - \left(w_{12} + \frac{\gamma * \eta}{\sigma_0^2} \right) * \gamma}{\left(w_{11} + \frac{\gamma^2}{\sigma_0^2} \right) * \left(w_{22} + \frac{\gamma^2}{\sigma_0^2} \right) - \left(w_{12} + \frac{\gamma * \eta}{\sigma_0^2} \right)^2} \right) * \left(\frac{\left(w_{22} + \frac{\gamma^2}{\sigma_0^2} \right) * \gamma - \left(w_{12} + \frac{\gamma * \eta}{\sigma_0^2} \right) * \eta}{\left(w_{11} + \frac{\gamma^2}{\sigma_0^2} \right) * \left(w_{22} + \frac{\gamma^2}{\sigma_0^2} \right) - \left(w_{12} + \frac{\gamma * \eta}{\sigma_0^2} \right)^2} \right) \\
 \text{где: } D(dc) &= \frac{1}{\sigma_0^2} \left(1 + \frac{1}{\sigma_0^2} * \left(\left(\frac{v_1}{\|d\|} \right)^2 * q_{11} + 2 * q_{12} * \left(\frac{v_1 * v_2}{\|d\|^2} \right) * \cos(\varphi) + \left(\frac{v_{21}}{\|d\|} \right)^2 * q_{22} * \cos^2(\varphi) \right) \right).
 \end{aligned} \tag{20}$$

Выводы

- Найдены аналитические соотношения для расчета в линейном приближении по ошибкам измерения оценки географических координат точки пересечения двух конусов с моделью поверхности Земли в виде референц-эллипсоида и их корреляционной матрицы. Найденные оценки позволяют в том числе произвести оценку геометрического фактора при различном взаимном расположении ИИ и точек приема.
- Найдены аналитические соотношения для оценки корреляционной матрицы уточненной оценки ММП на каждом шаге рекуррентного алгоритма.
- Найденные соотношения позволяют применить рекуррентный алгоритм уточнения координат полученной точки с использованием вновь полученных измерений. Рекуррентный алгоритм позволяет производить уточнение в реальном масштабе времени без хранения предшествующих измерений.

Литература

- Бугаевский Л.М. Математическая картография. Златоуст, 1998.
- Бранец Н.В., Шмыглевский И.П. Применение кватернионов в задачах ориентации твердого тела. М., «Наука», 1973.
- Крамер Г. Математические методы статистики. М., Мир, 1975.
- Вентцель Е.С. Теория вероятностей. М., Высшая школа, 1998.

Кинематический расчет шестизвездного рычажного механизма аналитическим методом

к.т.н. доц. Иванов В.А.
 Университет машиностроения
 8(499)267-12-00, tmir1941@mail.ru

Аннотация. В статье рассмотрена возможность аналитического расчета кинематических параметров многозвездных рычажных механизмов 2-го класса 2-го порядка с использованием начал аналитической геометрии на плоскости и дифференциального исчисления. Выведены аналитические зависимости для определения линейных и угловых скоростей и ускорений точек и звеньев кулисно-рычажного 6-тизвездного механизма. Приведены примеры графиков, полученных

Ключевые слова: аналитический расчет, кинематические параметры, многозвенный рычажный механизм.

Современный уровень развития машиностроения требует высокой точности выполнения расчетов. В настоящее время в кинематическом расчете применяют, как правило, графические методы, которые, наряду с наглядностью, доступностью, простотой, имеют существенный недостаток: они становятся затруднительными, если требуется провести большой объем однообразных построений, а вследствие неизбежных погрешностей точность их результатов может оказаться недостаточной для практического применения.

В настоящей работе приведены аналитические зависимости для кинематического расчета шестизвездного кулисно-рычажного механизма 2-го класса с использованием начал аналитической геометрии на плоскости и дифференциального исчисления, показан порядок и последовательность выполнения расчетов. При этом приводятся лишь функции положения точек звеньев. Передаточные же функции легко найти с помощью современных прикладных расчетных программ для ЭВМ, например, MathCad. Ранее в работах [1, 2] были выведены аналогичные аналитические зависимости для расчета механических параметров рычажных механизмов насоса и пресса, использованные студентами при выполнении курсовых работ с применением расчетных математических программ MathCad.

Рассмотрим схему шестизвездного рычажного механизма, имеющего два выходных звена: ползун 4 и шток 6 (рисунок 1).

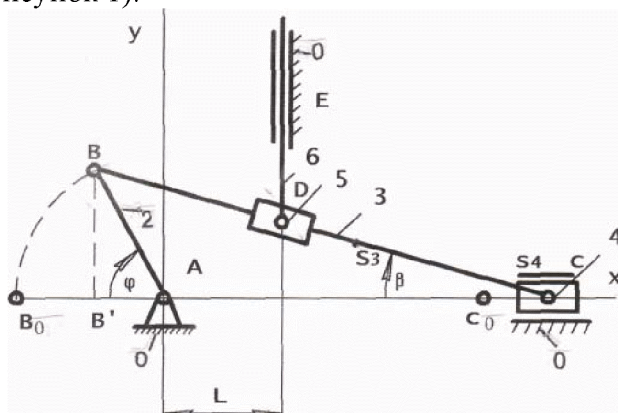


Рисунок 1 – Схема механизма

Выходные звенья нагружены внешними силами полезного (технологического) сопротивления, значения которых могут быть заданы таблицами или графиками $F_{C_6}(\varphi)$ и $F_{C_4}(\varphi)$, где φ – угол поворота кривошипа (обобщенная независимая координата). Ползун 4 образует поступательную кинематическую пару С с горизонтальной неподвижной направляющей, а шток 6 – поступательную пару Е с вертикально расположенной неподвижной направляющей. Направляющие являются частями неподвижного корпуса (стойки) технического устройства. Они показаны штриховкой и обозначены цифрой 0. Ось направляющей ползуна 4 проходит через центр шарнира А кривошипа 2 (входного звена механизма), ось штока 6 смещена на величину L .

Связем со схемой механизма прямоугольную систему координат ХОY так, чтобы ее начало находилось в центре шарнира А.

Введем обозначения: $AB = r$, $BC = l$, расстояние до центра масс S_3 шатуна $BS_3 = b$, смещение направляющей штока 6 – L . Остальные обозначения показаны на схеме механизма.

Определяем координаты точек В и С:

$$Y_B = r \cdot \sin \varphi, X_B = -r \cdot \cos \varphi, \quad (1)$$

$$X_C = \sqrt{l^2 - r^2 \cdot \sin^2(\varphi)} - r \cdot \cos \varphi, Y_C = 0. \quad (2)$$

Уравнение прямой, проходящей через точки В и С, имеет вид [3]: $\frac{X - X_B}{X_C - X_B} = \frac{Y - Y_B}{Y_C - Y_B}$.

При $Y_C = 0$ это выражение преобразуется в общее уравнение прямой ВС

$$(X_C - X_B) \cdot Y + Y_B \cdot X - X_B \cdot Y_B - (X_C - X_B) \cdot Y_B = 0. \quad (3)$$

Уравнение прямой, проходящей через точку D параллельно оси Y на расстоянии L от начала координат:

$$X = L. \quad (4)$$

Найдем координаты точки D пересечения этой прямой с прямой ВС. Решаем совместно уравнения (3) и (4).

$$X_D = L, \quad Y_D = Y_B \cdot \frac{X_C - L}{X_C - X_B}.$$

Для определения координат точки S_3 (центра масс шатуна ВС) делим отрезок ВС в заданном соотношении [3]. $\frac{BS_3}{CS_3} = \frac{b}{1-b}$.

Обозначим $\frac{b}{1-b} = \lambda$,

$$\text{тогда [3]} \quad X_{S3} = \frac{X_B + \lambda \cdot X_C}{1 + \lambda}, \quad Y_{S3} = \frac{Y_B + \lambda \cdot Y_C}{1 + \lambda}. \quad (5)$$

Отсюда:

$$X_{S3} = \frac{\{(1-b) \cdot X_B + b \cdot X_C\}}{1}, \quad (6)$$

$$Y_{S3} = \frac{\{(1-b) \cdot Y_B + b \cdot Y_C\}}{1}. \quad (7)$$

Положение шатуна ВС определяется углом β .

Из прямоугольного треугольника ВВ'С имеем:

$$\sin \beta = \frac{r \cdot \sin \phi}{l}, \quad \beta = \arcsin(r \cdot \sin \phi / l). \quad (8)$$

Переходим к определению линейных и угловых скоростей и ускорений точек и звеньев механизма. Для этого необходимо продифференцировать по обобщенной координате ϕ (углу поворота кривошипа) функции положения (координаты точек и угол β), затем первую производную умножить на угловую скорость кривошипа ω_2 , а вторую производную – на ω_2^2 . Тогда скорость точки С ползуна 4

$$V_C = \omega_2 \cdot \frac{dX_C}{d\phi}, \quad (9)$$

а ускорение

$$a_C = \omega_2^2 \cdot \frac{d^2 X_C}{d\phi^2}. \quad (10)$$

Проекции скорости центра масс S_3 шатуна:

$$V_{S3}^X = \omega_2 \cdot \frac{dX_{S3}}{d\phi}, \quad V_{S3}^Y = \omega_2 \cdot \frac{dY_{S3}}{d\phi}, \quad (11)$$

а проекции ускорения:

$$a_{S3}^X = \omega_2^2 \cdot \frac{d^2 X_{S3}}{d\phi^2}, \quad a_{S3}^Y = \omega_2^2 \cdot \frac{d^2 Y_{S3}}{d\phi^2}. \quad (12)$$

Скорость точки D штока 6:

$$V_D = \omega_2 \cdot \frac{dY_D}{d\phi}, \quad (13)$$

ускорение точки D:

$$a_D = \omega_2^2 \cdot \frac{d^2 Y_D}{d\phi^2}. \quad (14)$$

Определив первую и вторую производные угла β по углу ϕ , находим угловую скорость и угловое ускорение шатуна 3: $\frac{BS_3}{CS_3} = \frac{b}{l-b}$.

$$\omega_3 = \omega_2 \cdot \frac{db}{d\phi}, \quad e_3 = \omega_2^2 \cdot \frac{d^2 b}{d\phi^2}. \quad (15)$$

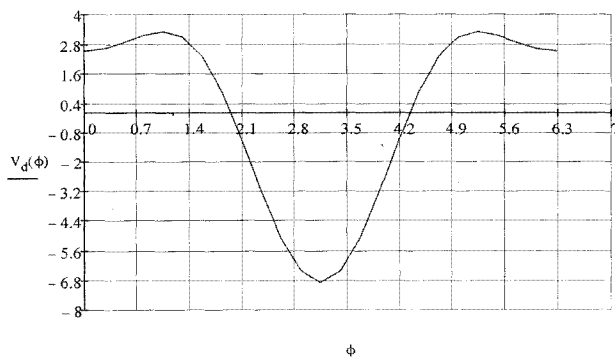


Рисунок 2 – График скорости точки D штока 6

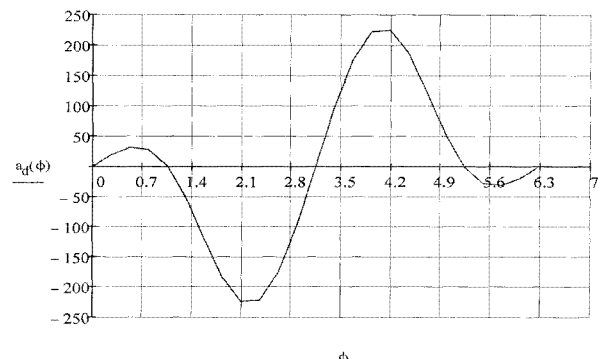
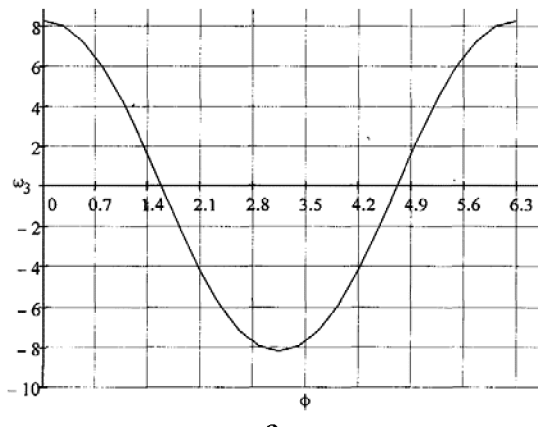
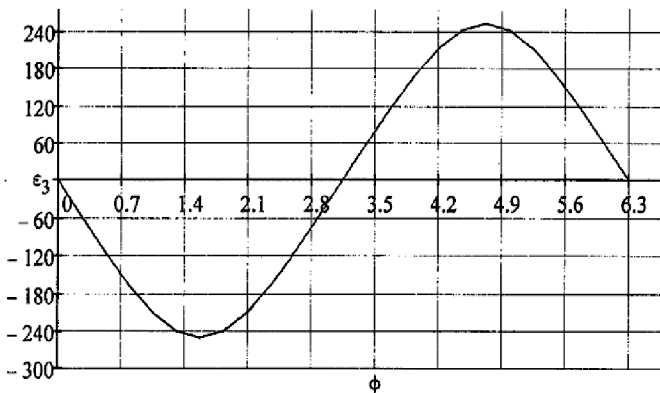


Рисунок 3 – График ускорения точки D штока 6



а



б

Рисунок 4 – График угловой скорости (а) и углового ускорения (б) шатуна 3

Вычисления удобно производить с использованием расчетных математических программ для ЭВМ MathCad. Результаты расчета выводятся в виде таблиц или графиков. Примеры графиков представлены на рисунках 2, 3, 4 и 5. Проверка результатов, проведенная с помощью графических методов подтвердила правильность выведенных зависимостей. Характеры изменения графиков полностью совпадают.

Литература

- Иванов В.А. Кинематический и силовой расчет рычажного механизма насоса аналитическим методом: Методические указания. – М.: МГУИЭ, 2003. – 28 с.
- Иванов В.А. Расчет шестизвездного механизма пресса аналитическим методом: Методические указания. – М.: МГУИЭ, 2008. – 24 с.
- Выгодский М.Я. Справочник по высшей математике. – М.: Наука, 1977. – 872 с.

Кинетостатический расчет шестизвездного рычажного механизма аналитическим методом

к.т.н. доц. Иванов В.А.
Университет машиностроения
8(499)267-12-00, tmir1941@mail.ru

Аннотация. В статье рассмотрена возможность аналитического определения реакций связей многозвенных рычажных механизмов 2-го класса 2-го порядка на основе метода кинетостатики. Выведены аналитические зависимости для определения реакций кинематических пар кулисно-рычажного 6-тизвенного механизма. Приведены примеры графиков, полученных с использованием расчетной математической программы MathCad 14.

Ключевые слова: аналитический расчет, реакции кинематических пар, кинетостатика, многозвездный рычажный механизм.

Современный уровень развития машиностроения требует высокой точности и большого объема выполняемых расчетов. В настоящее время в кинетостатическом расчете применяют, как правило, графоаналитический метод, который, наряду с наглядностью, доступностью, простотой, имеют существенный недостаток: он становится затруднительным, если требуется провести большой объем однообразных построений и вычислений. В настоящей работе приведены аналитические зависимости для определения реакций, возникающих в кинематических парах шестизвездного кулисно-рычажного механизма 2-го класса с использованием метода кинетостатики, показан порядок и последовательность выполнения расчетов, дается анализ знаком членов, входящих в расчетные зависимости. Вычисления удобно выполнять с помощью современных прикладных расчетных программ для ЭВМ, например, MathCad. Ранее в работах [1, 2] были выведены аналогичные аналитические зависимости для расчета силовых характеристик рычажных механизмов насоса и пресса, использованные студентами при выполнении курсовых работ с применением расчетных математических программ MathCad 14.

Рассмотрим схему шестизвездного рычажного механизма, имеющего два выходных звена: ползун 4 и шток 6 (рисунок 1).

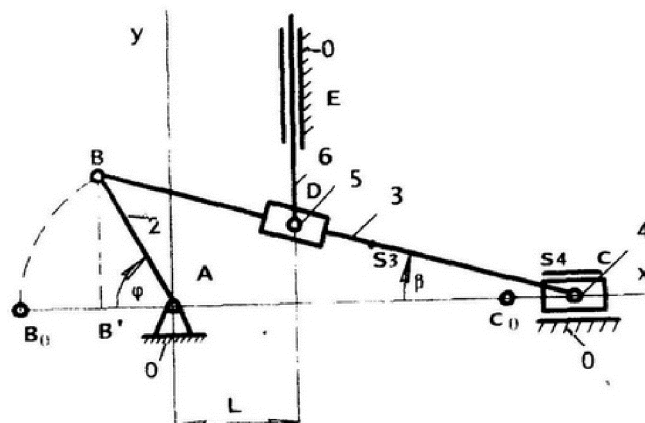


Рисунок 1 – Схема механизма

При выполнении силового расчета важно правильно выбрать направление вращения кривошипа.

Преодоление силы полезного сопротивления происходит только на прямом (рабочем) ходу выходного звена, в промежутке между двумя крайними положениями механизма, ограничивающими траекторию точки звена, совершающего возвратные движения (в нашем случае движение точки D звена 6, а также точки C звена 4).

Примем движение штока 6 на рабочем ходу в направлении из крайнего нижнего в